

論 文

끝단면에 캠을 갖는 원통주의 전류분포 해석

正會員 李 康 浩* 正會員 金 正 祺**

Analysis of Current Distribution on
Cylinders with End Cap

Kang Ho LEE*, Jung Ki KIM** Regular Members

要 約 준정적 근사법을 적용하여 평탄한 단면(End cap)을 포함하는 회전체에 유가되는 전류에 대한 적분방정식을 유도하고 모멘트법을 이용해서 해석하였다. 수치해석시 기저함수로 Cubic B Spline함수, 가중함수로 델타함수를 사용한 Point Matching Method를 사용하였다.

또한 끝단에 둥근타원체(Spheroidal end cap)를 갖는 경우 및 평탄한 단면을 갖는 원통주의 구조변수 변화에 따른 영향관계를 해석하였다.

ABSTRACT An integral equation is derived for surface current distribution of cylinders with end cap using quasi static approximation method. The moment method is applied for numerical solution. Point matching method using Cubic B-spline function as a basis function, delta function as a weighting function is applied for moment method. And also, the influencial relation in accordance with structural variation is analized in case of spheroidal end cap type and flat type.

1. 서 론

평탄한 단면을 갖는 원통형 안테나의 경우, 크게 두 종류의 형태로 해석된다. 첫째, 끝단면의 영향을 무시한 경우이다. 이 경우 제시되고 있는 적분식은 Pocklington^(1,2,3)과 Hallen^(4,5)적분식이 있다. 후자의 경우 널리 사용되고 있으나 전자의 적분식도 입력을 전계에 관한 수식으로

나타낼 수 있으므로 많이 사용되고 있다.^(6,7) 이러한 적분식의 경우 반경이 파장에 비해 그리고 안테나의 길이에 비해 작은 경우에 적용된다. 둘째로 끝단면의 영향을 고려한 경우로써 비교적 굽은 안테나 까지도 적용이 가능하다.

이 해석방법은 Taylor와 Wilton에 의해 제시된 준정적 근사법을 이용한 적분식⁽⁸⁾, Gentei Sato에 의해 끝단면의 전류밀도 싱분을 포함하는 적분식 유도를 통한 해석⁽⁹⁾, Dragobic에 의해 시도된 끝단전하분포에 의해 발생하는 전계성분의 영향이 큰 인접 끝단영역을 정의하고 끝단

* 大有工業専門大學 電子通信科

Dept. of Elec. Comm. Dae Yeu Technical Junior College

** 中央大學校 電子工學科

Dept. of Elec. Eng. Chungang Univ.

論文番號 : 90-89 (接受 1990. 8. 20)

가장자리의 령전하관계를 고려한 기저함수⁽¹⁾를 이용한 해석이 있다.⁽¹⁰⁾

본 논문에서는 안테나 끝단면이 뾰족한 회전체인 경우는 Pocklington형태, 끝단면이 평坦한 경우는 준정적근사법을 이용하여 일반적 회전체 형태를 갖는 서로 다른 원통주를 해석하였다. 수치해석시 적은 분할요소로도 정확한 해를 구하기위하여 기저함수로 Cubic B-spline함수⁽¹¹⁾, 가중함수로 Dirac delta 함수로 사용하였다.

여기서 η 는 자유공간에서의 고유입자인스, k_0 는 파수, ds' 는 #1, #2의 미소표면적, R' 는 원점에서 S.P.(원점)간의 거리, R 은 원점에서 O.P.간의 거리, $|R-R'|$ 는 O.P.로부터 S.P.간의 거리이다.

잇식을 그림2에서와 같이 특정 유형인 끝단면을 갖는 회전체 및 양끝이 뾰족한 회전체에 적용하면

$$\mathbf{J} = \mathbf{J}_{t'} + \mathbf{J}_s \quad (3)$$

II. 적분 방정식

그림1에서와 같이 자유공간에 노체가 흥이 있을 경우 이 노체에 외부로 부터 임사진계 \mathbf{E}^t 가 인가되었을 때 #1, #2에 걸친 진계 $\mathbf{E}^{st}, \mathbf{E}^s$ ²를 발생하게 되는데 O.P.(원점)에서 종진계 \mathbf{E}^t 는 다음과 같다.⁽¹²⁾

$$\begin{aligned} \mathbf{E}^t &= \mathbf{E}^{st} + \mathbf{E}^{s2} + \mathbf{E}^l \\ &= j \eta / k_0 + \iint_{\#1} \pi_1 (k_0^2 \mathbf{J}_1(R') + \nabla \nabla' \cdot \mathbf{J}_1(R')) \\ &\quad K_1(R, R') ds' + \iint_{\#2} \pi_2 (k_0^2 \mathbf{J}_2(R') + \nabla \nabla' \cdot \mathbf{J}_2(R')) \\ &\quad K_2(R, R') ds' + \mathbf{E}^l \end{aligned} \quad (1)$$

$$K_i(R, R') = \exp(-jk_0 |R - R'|) / (|R - R'|) \quad (2)$$

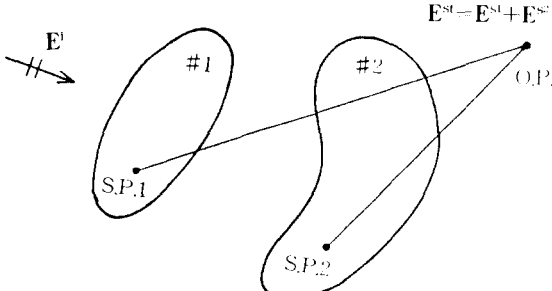


그림 1. 자유공간의 원점노체
Fig.1. Perfect conductor of free space

$$\nabla' \cdot \mathbf{J} = 1/r'(z') [\frac{\partial}{\partial \phi} (\mathbf{J}_s)' + \frac{\partial}{\partial t} (r'(z') \mathbf{J}_t')] \quad (4)$$

$$ds' = r'(z') / \cos(\theta(z')) d\phi' dz' \quad (5)$$

$$|R - R'| = [(z - z')^2 + r'(z')^2]^{1/2} \quad (6)$$

$$I_t(z') = \int_{\#1}^{\#2} J_t(z', \phi') r'(z') ds' \quad (7)$$

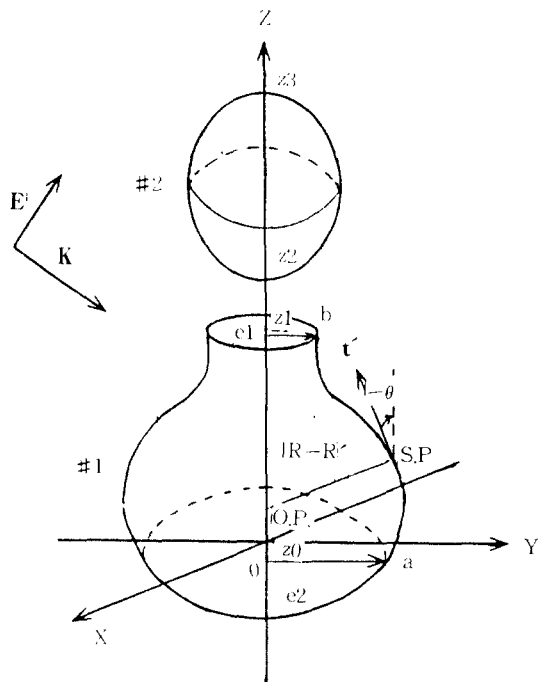


그림 2. 회전체의 좌표상의 위치
Fig. 2. Coordinate location of B,O,R.

단, 상기식에서 $\theta(z')$, $r'(z')$ 는 θ , r' 가 z' 의 함수임을 나타낸다. t' 의 경우는 표면의 접선성분벡터로서 ϕ 벡터와 수직을 이루는 벡터이다. 이때 #1은 끝단면에 평탄한 단면 e1, e2를 갖는 경우로서 이곳에서 발생되는 산란전계를 E_{e1}^{si} , E_{e2}^{si} 라고 하면, 상기 (2)-(7)식을 (1)에 대입하고 O.P.를 좌표의 중심축에 두는 확장 경계조건을 적용하여 수학적 과정을 거치면 다음과 같다.

$$\begin{aligned} E^l(z) = & j \eta / k_0 \left[\int_{z_0}^{z_1} I_{t2}(z') \left(k_0^2 - \frac{\partial^2}{\partial z' \partial z} \right) K_2(z, z') dz' + \int_{z_0}^{z_1} \left\{ I_{t1}(z') k_0^2 + \frac{\partial}{\partial z'} I_{t1}(z') \frac{\partial}{\partial z} \right\} K_1(z, z') dz' \right] \\ & + E_{e1}^{si}(z) + E_{e2}^{si}(z) \end{aligned} \quad (8)$$

$$K_i(z, z') = \exp[-jk_0 \{(z-z')^2 + r'(z')^2\}^{1/2}] / [(z-z')^2 + r'(z')^2] \quad (9)$$

상기식에서 $I_{t1}(z')$, $I_{t2}(z')$ 는 #1, #2의 표면을 통과하는 총전류이며, $K_1(z, z')$, $K_2(z, z')$ 는 S.P.가 각각 #1, #2 표면에 위치하는 경우의 그린함수이다. $E^l(z)$ 는 중심 Z축상에서의 입력 전계이다.

그림.2에서 $E_{e1}^{si}(z)$, $E_{e2}^{si}(z)$ 를 준정적근사법을 이용하여 구해보면 다음과 같이 구할 수 있다. 우선 그림2에서 e2면만을 고려해보면, 끝단면내에 존재하는 전하를 Q라하고 끝단면에서의 전하분포가 균일하고 끝단면 내 중점전류치는 영인 전류도 J_r 성분만 존재한다고 보면 전류연속 방정식에 의해 J_r 는 전하량 Q의 방정식으로 나타낼 수 있다.⁽⁸⁾

$$J_r(r') = -j\omega Q \cdot r' / (2\pi a^2) \quad (10)$$

그런데 끝단면의 가장 자리에서 또한 전류연속성이 만족 되어야 하므로 위식은

$$J_r(r') = I_t(z_0) r' / (2\pi a^2) \quad (11)$$

로 나타낸다.

끝단면 e2만을 고려하면 그림3과 같다. 이때

O.P.에서의 전계 분포를 살펴 보기 위해서 벡터포텐셜항으로 나타낸 식(8)을 인용하고 그림3에서와 같이 원편판내에 전계전류 (Electric Current) J_r 성분만 존재하므로 전계 벡터포텐셜 $F=0$ 가 된다. 이때 J_r 에 의한 산란전계는 다음과 같다.

$$E_{e2}^{si} = \mu_0 / \omega \epsilon_0 (\Delta \Delta \cdot A + k_0^2 A)$$

$$A = \int_0^a \int_{-\pi}^{\pi} [J_r \exp(-jk_0 |R-R'|) / 4\pi |R-R'|] r' d\phi' dr' \quad (12)$$

$$|R-R'| = [r^2 + r'^2 + (z-z')^2 - 2rr' \cos \phi']^{1/2} \quad (13)$$

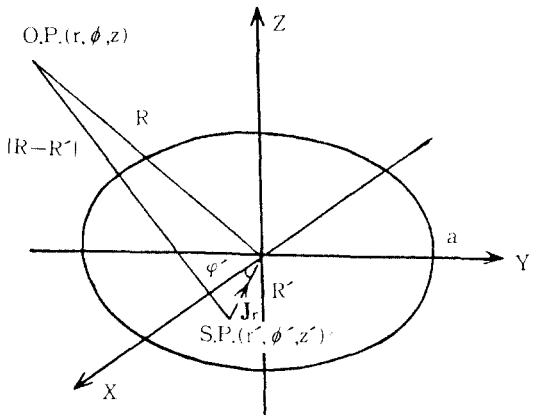


그림 3. 평탄한 단면 위천의 좌표상의 위치
Fig. 3. Coordinate location of flat source

여기서 $|R-R'|$ 는 S.P.와 O.P.간의 거리, ϕ' 는 그림3의 O.P.의 $|\phi - \phi'|$ 값이다. 그런데 (12)식의 좌변에 적분항으로 표시된 자계 벡터 포텐셜은 ϕ' 에 대해 대칭적인 관계가 있으므로 O.P.를 xz평면에 고정 시켰을 때의 관계는 그림4와 같다.

O.P.가 위치하는 xz평면으로 대칭을 이루는 S.P.1과 S.P.2의 전류밀도성분 J_r 의 경우 xz에 투영되는 벡터 성분은 크기가 같고 서로 반대방향을 갖는 전류밀도에 의해 O.P.에서 관측되는

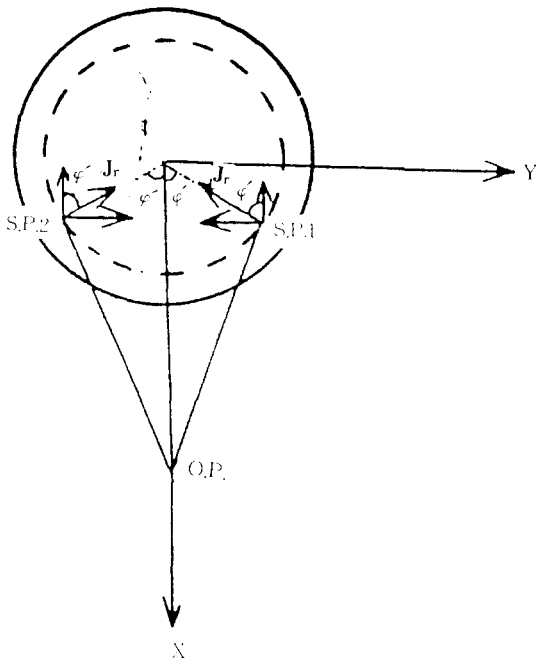


그림 4. 극축점과 원진점과의 분극관계

Fig. 4. Polarization relation between observation point and source point.

베타 포텐셜은 서로 상쇄되고 두양 방향과 적자율 이후는 상분에 의해 서만 포텐셜이 유기된다.

이러한 결과로 인해 자개베티 포텐셜은 \mathbf{r} 벡터 상분만 존재함을 알수 있고 대칭관계에 있으므로 자개베티 포텐셜은 다음과 같이 나타낸다.

(12)식 좌변의 자개베티 포텐셜은

$$\mathbf{A}_r(r, z) = \mu_0 / 2\pi \int_a^b \int_{z_0}^z \cos \phi' \mathbf{J}_r(r', \phi') \exp(-jk_0 |R - R'|) / |R - R'| r' d\phi' dr' \quad (14)$$

(11)식을 (14)식에 대입하여 정리 하면

$$\begin{aligned} \mathbf{A}_r(r, z) &= \mu_0 / (4\pi^2 a^2) I_t(z_0) \int_a^b \int_{z_0}^z \cos \phi' \exp \\ &(-jk_0 |R - R'|) / |R - R'| r' d\phi' dr' \end{aligned} \quad (15)$$

(15)식을 (12)식에 대입하여 정리 하면

$$\begin{aligned} \mathbf{E}_{ez}^{st}(r, z) &= 1 / j\omega\epsilon_0 \left[\frac{\partial}{\partial z} \left(1 / r \frac{\partial}{\partial r} (\mathbf{r} \cdot \mathbf{A}_r(r, z)) \right) \right. \\ &\left. + \left(\frac{\partial}{\partial r} \left(1 / r \frac{\partial}{\partial r} (\mathbf{r} \cdot \mathbf{A}_r(r, z)) \right) + k_0^2 \mathbf{A}_r(r, z) \right) \right] \\ &= \mathbf{E}_z + \mathbf{E}_r \end{aligned} \quad (16)$$

단면에 존재하는 \mathbf{J}_r 에 의해 유기되는 전계상분은 상기식을 통해 z, r 상분만 갖는다는 것을 알수 있다. (15), (16)식으로부터 Z 축에 위치하는 O.P.의 전계상분은 단면의 원천인 \mathbf{J}_r 의 대칭성으로 인해 \mathbf{E}_r 상분이 존재하지 않으며 \mathbf{E}_z 상분만 존재함을 알수 있다. \mathbf{E}_z 상분의 경우 (16)식으로부터 구할수 있는데 $r \rightarrow 0$ 이므로 (16)식을 등이점을 갖게 된다.

그럼 (16)식 $|R - R'| = [(z - z')^2 + r'^2]$ 을 대입하자면 맥터 포텐셜 $\mathbf{A}_r(0, z) = 0$ 가 된다. 그리고 (16)식 좌변 첫번째 적분항으로부터 L'Hospital 법칙을 적용하면

$$\begin{aligned} \mathbf{E}_{ez}^{st}(0, z) &= 2 / (j\omega\epsilon_0) \frac{\partial^2}{\partial r^2} \mathbf{A}_r(r, z) \Big|_{r=0} \\ &= -\mathbf{I}_t(z_0) / (j2\pi\epsilon_0) [\exp(-jk_0 |R - R'|) \\ &/ |R - R'|] \Big|_{r=0} + \mathbf{I}_t(z_0) / (\pi\epsilon_0 a^2) (z_0 - z) \\ &[\exp(-jk_0 |R - R'|) / |R - R'|] \Big|_{r=0} \end{aligned} \quad (17)$$

그런데 그림2에서 단면을 두개를 가지고 있으므로 상기식에서 하단부의 경우 (17)식의 $z_0 = 0$ 으로 하면 빙단에서의 전계가 되며 $z_0 = z_1, a = b$ 로 대입하면 윗단에서의 전계값을 얻을 수 있다. 이러한 관계식을 그림2에서와 같이 끝단면을 갖는 회전체 및 양끝이 뾰족한 회전체에 의한 회중식 방정식 (8)에 대입하고 (8)식 우변의 두번쨰 적분식을 부분 적분을 수행하여 정리하면

$$\begin{aligned} -j4\eta k / \eta \mathbf{E}^t(z) &= \int_{z_0}^{z_1} \mathbf{I}_{tz}(z') [k_0^2 - \frac{\partial^2}{\partial z \partial z'}] K_t(z, z') dz' \\ &+ \int_{z_0}^{z_1} \mathbf{I}_{tu}(z') [k_0^2 - \frac{\partial^2}{\partial z \partial z'}] K_t(z, z') dz' \\ &- 2\mathbf{I}_{tu}(z_0) \frac{\partial}{\partial z} K_t(z, z_0) + 2 \mathbf{I}_{tu}(z_1) \frac{\partial}{\partial z} K_t(z, z_1) \\ &- 4 / a^2 \mathbf{I}_{tu}(z_0)(z - z_0) [K_t(z, z_0) \Big|_{z \rightarrow 0} - K_t(z, z_0)] \end{aligned}$$

$$+4/b^2 I_t(z_1) (z-z_1) [K_1(z, z_1) \Big|_{r \rightarrow 0} - K_1(z, z_1)] \quad (18)$$

가 된다.

III. 결과치

평면파가 외부로부터 입사시 안테나 z축상에 유기되는 전계값은 다음과 같다.

$$E^i(z) = E_0 \sin \theta \exp[-jk_0 z \cos \theta] \quad (19)$$

여기서 θ 는 평면파 파수의 방향과 z축이 이루는 각도, E_0 는 전계의 복소 증폭률이다.

그림5.에서 #1의 경우, 캘크기 $h_i \rightarrow L_i/2$ 일 때 타원체가 되며, $h_i \rightarrow 0.0$ 일 때 원통형이 된다. 우선 #1만을 고려할 경우는 (18)식의 우변 첫번째 적분식을 이용하여 해석하게 되는데 외부로부터 평면파가 입사되고 $a_i = 0.072449$, $k_0 L_i / 2 = 1.2$

12~3.232까지 변화시키는 경우 중점에서의 전류치는 Taylor의 결과치와 비교한 결과 잘 일치하였다.¹³⁾

비교적 반경이 크고 $h_i \rightarrow 0.0$ 으로 하여 원통주로 군사화 시킬 때 끝단면 영향을 고려치 않은 수식을 적용하여 구한 전류치와 끝다면 영향을 고려한 수식을 적용하여 구한 전류치를 비교해 보면 표1과 같다.

단, 표1의 결과는 $k_0 L_i / 2.0 = 1.586$, 반경 $a_i = 0.1 L_i$, 캘크기인 $h_i = 0.001 L_i$ 으로 작게하여 원통주로 군사화 시켰을 때 결과치이다. 입사각도 θ 를 $\pi/2$ 로 하였으며 전류분포는 대칭적으로 분포하기 때문에 절반의 전류분포만 나타내고 있다. 표에서와 같이 끝단면 영향을 무시한 수식을 사용할 경우, 단 인접부는 $0.0 < z/L_i < 0.16$ 에서 전류값이 증가하는데 이는 끝단면 영향 관계를 고려치 않으므로서 오는 오차라고 볼 수 있다.

그림 5에서와 같이 3개의 소자로 구성된 끝단면에 캘을 갖는 원통주에 평면파가 θ 의 각도로 입사하는 경우 $k_0 L_2 / 2.0 = 1.586$, $a_3 / L_2 = a_1 / L_2$

표 1. 끝단면 영향을 고려한 원통주의 결과치와 고려치 않은 원통주의 결과치 비교

Table 1. Comparison of formulation result with and without end effect

Z/L_i	FORMULATION RESULT WITH END EFFECT		FORMULATION RESULT WITHOUT END EFFECT	
	REAL	IMAGINARY	REAL	IMAGINARY
.00000	.147E-02	-.194E-03	.000E+00	.000E+00
.04000	.463E-02	-.198E-02	.132E+01	-.643E-02
.08000	.658E-02	-.333E-02	.150E+01	-.755E-02
.12000	.811E-02	-.460E-02	.115E+01	-.615E-02
.16000	.962E-02	-.592E-02	.889E+02	-.539E-02
.20000	.111E-01	-.723E-02	.113E+01	-.674E-02
.24000	.124E-01	-.848E-02	.141E+01	-.826E-02
.28000	.135E-01	-.962E-02	.158E+01	-.926E-02
.32000	.145E-01	-.106E-01	.163E+01	-.968E-02
.36000	.153E-01	-.115E-01	.162E+01	-.979E-02
.40000	.160E-01	-.121E-01	.161E+01	-.987E-02
.44000	.164E-01	-.126E-01	.163E+01	-.101E-01
.48000	.166E-01	-.128E-01	.168E+01	-.104E-01
.50000	.166E-01	-.128E-01	.172E+01	-.106E-01

$=0.06$, $h_3/L_2 = h_1/L_2 = 0.2$, $L_3/L_2 = L_1/L_2 = 0.5$, $g_1 = g_2 = 0.1L_2$, $a_2 = 0.12L_2$ 로 하였을 때 각도에 따른 전류분포를 그림6에 나타내고 있다.

그림에서와 같이 $\theta = \pi/18$ 일 경우 유기되는 전류치는 매우 작고 임사각도에 따라 위상이 변하는 것을 알 수 있다.

임사각도가 $\pi/2$ 일 때 #2의 중심에서 최대 전류치 $20.5 - j12.4$ mA가 유도되고 있다.

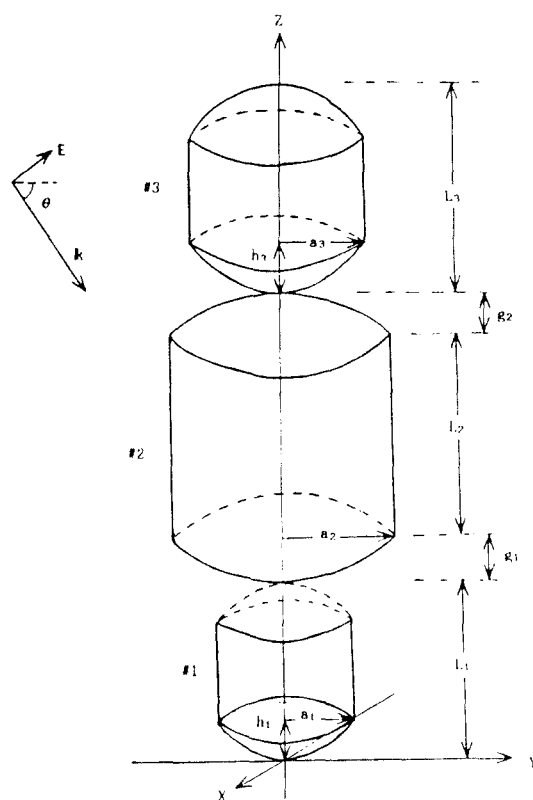


그림 5. 3개의 소자로 구성된 광판면에 깊은 물 위 흐름을
Fig. 5. 3 element cylinders with end cap

IV. 결 론

평탄한 단면을 갖는 일반적 형태의 회전체에 대해 특이점이 없는 1차원 순수 방정식을 유도하였으며 여기서 광판면이 뾰족한 회전체인 경우는

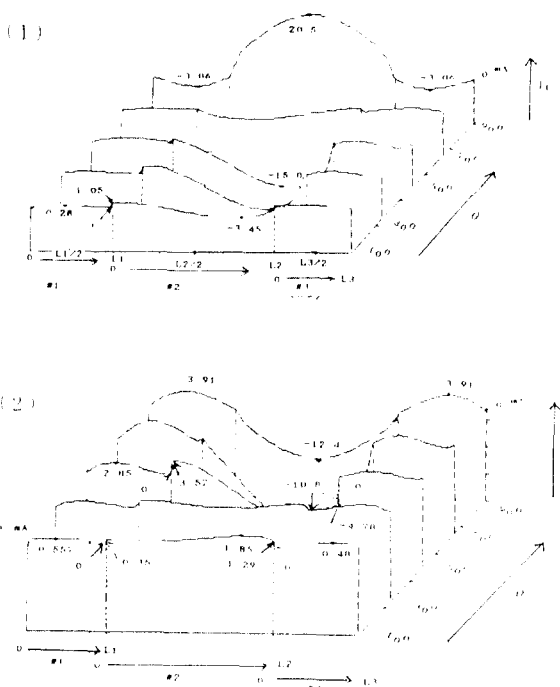


그림 6. 광판과 임사각도에 따른 흐름주와 전류분포
(1) 실수부 (2) 허수부

Fig. 6. Current distribution of cylinders impressed with plane wave (1) real, (2) imaginary

Pocklington 형태, 광판면이 평탄한 경우 준정적 방정식을 이용하여 해석하였다. 수치해석 시 기저 함수로 Cubic B-spline 함수를 사용하여 적은 분할 요소로도 정확한 해를 얻었을 수 있었다. 광판면의 영향 관계를 고려하므로써 비교적 같은 흐름주 해석이 가능하고 또한 이와 같은 방법에 의해 임의의 형태를 갖는 삼면체에 대해서도 해석이 가능하다.

참 고 문 헌

1. I.L. Tsai, "A Comparison of Geometric Theory of Diffraction and Integral Equation Formulation for Analysis of Reflector Antennas", IEEE Trans. Antennas and Propagation, Vol. AP 20, No.6, 1972.
2. R.King, "The Theory of Linear Antennas, Cambridge", Mass, Harvard Univ. Press, 1956.

3. J.H. Richmond, "Digital Solution of the Rigorous Equation for Scattering Problems", IEEE Press, Vol. 53, 1965.
4. R.H. Kyle, "Mutual Coupling between Log-Periodic Dipole Antennas", Ph.D. Dissertation, Syracuse Univ., Syracuse, New York, 1968.
5. K.K. Mei, "On the Integral Equations of Thin Wire Antennas", IEEE Trans. Antennas and Propagation, Vol. AP-13, 1965.
6. L.L. Tsai, "A Numerical Solution for the Near and Far Fields of an Annular Ring of Magnetic Current", IEEE Trans. Antennas and Propagation, Vol. AP-20, No. 5, 1972.
7. R.E. Collin, "Equivalent Line Current for Cylindrical Dipole Antennas and its Asymptotic Behavior", IEEE Vol. AP-32, No. 2, 1984.
8. C.D. Taylor and Wilton, "The Extended Boundary Solution of the Dipole Antenna of Revolution", IEEE Trans. Antennas and Propagation, Vol. AP-31, No. 6, 1972.
9. Gentei Sato, et al., "Theoretical Analysis and Some Experiments on Vierergruppe antenna", IEEE Trans. Antennas and Propagation, Vol. AP-31, No. 3, 1983.
10. B.D. Popovic, et al., "Analysis and Synthesis of Wire Antennas", Reserch Studies Press, pp. 79-90, 1982.
11. P.M. Prenter, "Splines and Variational Methods", John Wiley & Sons Inc., pp. 78-83, 1975.
12. D.S. Jones, "The Theory of Eletromagnetism", New York Pergamon Press, pp. 55, 1964.
13. 윤재훈, "화장성 채조건을 이용한 회전체 모양 안테나의 전류분포 특성", 중앙대학교 대학원 석사학위논문, pp. 25, 1985.



李康浩(Kang Ho LEE) 正會員
 1953年3月18日生
 1976年2月：東亞大學校 宙子工學科 毕業
 1978年2月：東亞大學校 大學院 電子工學院 毕業(工學碩士)
 1985年2月～現在：中央大學校 大學院
 電子工學科 博士過程
 1982年3月～現在：大有工業専門大學 電子通信科 助教授



金正祺(Jung Ki KIM) 正會員
 1942年5月5日生
 1965年2月：延世大學校電氣工學科卒業
 1969年2月：延世大學校大學院電氣工學
 科(工學碩士)
 1975年2月：延世大學校大學院電氣工學
 科(工學博士)
 1970年3月～1977年2月：光云工科大學
 副教授
 1977年3月～現在：中央大學校電子工學科 教授
 1982年12月～1983年12月：美國某大學客員教授